

OFICINA

Integrais triplas: uma abordagem computacional com o Maple

Pereira, Luiz Claudio¹

Resumo: Nesta oficina, com duração de 4 horas, a partir de problemas propostos, desenvolver-se-á, de forma interativa, com o uso do Maple, a resolução de integrais triplas por meio do Teorema de Fubini. Primeiro, com o Maple, construir-se-á o sólido $\Omega \subset \mathbb{R}^3$ referido no problema proposto. Após, examinar-se-á a situação, decidindo que projeção é mais conveniente. Por fim, instruir-se-á o programa a efetuar ordenadamente as integrais repetidas pertinentes. Espera-se que a presente oficina, embora de caráter elementar, estimule e incentive os participantes a usar o Maple como ferramenta de auxílio no processo de aprendizagem; particularmente, no estudo de integrais triplas.

Palavras-chave: Maple, integrais, triplas, teorema, Fubini.

1 A INTEGRAL TRIPLA E O TEOREMA DE FUBINI

A construção da representação de uma situação do espaço tridimensional numa folha de papel, antes, explorada, por exemplo, em disciplinas de desenho geométrico, é uma habilidade cada vez menos desenvolvida ao longo dos anos de estudo que precedem ao ingresso no ensino superior.

Uma consequência, dentre outras, dessa inabilidade é que ao lidar com um sólido $\Omega \subset \mathbb{R}^3$, poucos são os indivíduos aptos a esboçar, com razoável acurácia, numa folha de papel, a superfície $S = \partial\Omega$ e menos ainda aqueles capazes de visualizar a projeção de Ω sobre os planos coordenados.

Essa deficiência, por sua vez, tende a repercutir gravosamente na capacidade do indivíduo em resolver problemas envolvendo integrais triplas porquanto, pelo Teorema

¹Docente da Universidade de Brasília.

de Fubini, tem-se que

$$\iiint_{\Omega} f(x, y, z) \, dV = \iint_U \left[\int_{\phi(x,y)}^{\psi(x,y)} f(x, y, z) \, dz \right] dA,$$

onde $U \subset \mathbb{R}^2$ é a projeção de Ω sobre o plano coordenado xy .

A projeção acima referida pode ser realizada sobre o plano coordenado xz ou sobre o plano coordenado yz , alterando-se, *mutatis mutandis*, a expressão dada pelo Teorema de Fubini. Nesse sentido, a partir de uma projeção sobre o plano coordenado yz , decorre que

$$\iiint_{\Omega} f(x, y, z) \, dV = \iint_D \left[\int_{\lambda(y,z)}^{\sigma(y,z)} f(x, y, z) \, dx \right] dA,$$

onde $D \subset \mathbb{R}^2$ é a projeção de $\Omega \subset \mathbb{R}^3$ sobre o plano coordenado yz .

A integral dupla, de acordo com o Teorema de Fubini, é resolvida através de duas integrais repetidas, mediante análise da curva $C = \partial D$.

Nesse caso, as duas alternativas são

$$\iint_D \left[\int_{\lambda(y,z)}^{\sigma(y,z)} f(x, y, z) \, dx \right] dA = \int_a^b \left\{ \int_{\alpha(y)}^{\beta(y)} \left[\int_{\lambda(y,z)}^{\sigma(y,z)} f(x, y, z) \, dx \right] dz \right\} dy,$$

quando $C = \{(y, z) \in \mathbb{R}^2 : \alpha(y) \leq z \leq \beta(y) \text{ e } a \leq y \leq b\}$, ou

$$\iint_D \left[\int_{\lambda(y,z)}^{\sigma(y,z)} f(x, y, z) \, dx \right] dA = \int_c^d \left\{ \int_{\nu(z)}^{\phi(z)} \left[\int_{\lambda(y,z)}^{\sigma(y,z)} f(x, y, z) \, dx \right] dy \right\} dz,$$

quando $C = \{(y, z) \in \mathbb{R}^2 : \nu(z) \leq y \leq \phi(z) \text{ e } c \leq z \leq d\}$.

2 A ABORDAGEM COMPUTACIONAL COM O MAPLE

Conforme visto, a resolução de uma integral tripla exige que o indivíduo reconheça e decida que projeção merece ser utilizada no desenvolvimento da integral dupla. Essa, por sua vez, requer que se examine a curva que determina a fronteira da projeção. O sólido $\Omega \subset \mathbb{R}^3$ é, em geral, determinado pela superfície $S = \partial\Omega$.

Na abordagem computacional com o Maple, proposta nesta oficina, considerar-se-á que a superfície $S = \partial\Omega$ é formada pela união finita de superfícies parametrizáveis. Isso significa que existe um número finito de aplicações

$$\begin{aligned} X : D \subset \mathbb{R}^2 &\longrightarrow \mathbb{R}^3 \\ (u, v) &\mapsto (x(u, v), y(u, v), z(u, v)) = X(u, v) \end{aligned}$$

tais que o traço de X é igual a S .

Assim, obtida uma parametrização apropriada para $\partial\Omega = S$, para exibição da superfície que determina o sólido, no Maple, usa-se o comando `plot3d` de sintaxe

$$\text{plot3d} \left(\left[x(u, v), y(u, v), z(u, v) \right], u = a_1..a_2, v = b_1..b_2, \text{options} \right);$$

com a_1, a_2, b_1, b_2 escolhidos adequadamente.

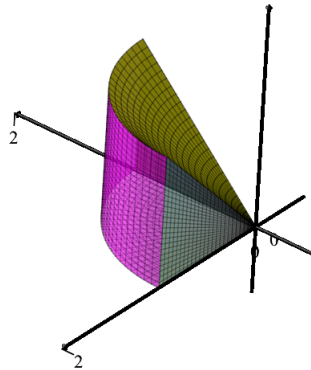


Fig. 1: Autoria própria

Acima, exibe-se um sólido $\Omega \subset \mathbb{R}^3$, cuja superfície $S = \partial\Omega$ é formada por um cone, um cilindro e três planos, gerado pelo Maple a partir do comando *plot3d* e outros correlatos.

A partir da figura, o interessado pode tentar esboçar no papel a figura, treinando sua habilidade motora e desenvolvendo sua percepção geométrica. Demais, a manipulação deste sólido no Maple permite inferir que projeção merece ser utilizada no cálculo da integral tripla em Ω , de uma função real de três variáveis f , segundo o Teorema de Fubini.

Nesse caso, as três integrais repetidas podem ser determinadas pelo Maple por meio de três comandos *Int* encaixados, de acordo com a sintaxe

$$\text{Int} \left(\text{Int} \left(\text{Int} \left(f(x, y, z), x = a_1..a_2, y = b_1..b_2, z = c_1..c_2 \right) \right) \right);$$

onde $a_1..a_2$, $b_1..b_2$ e $c_1..c_2$ denotam, respectivamente, a variação de x , y e z , conforme as escolhas da projeção U do sólido e da curva $C = \partial U$.

3 PROBLEMAS PROPOSTOS

3.1 O VOLUME DE UM PRISMA

Considere um prisma $\Omega \subset \mathbb{R}^3$ cuja base é o triângulo no plano xy limitado pelo eixo x e pelas retas $y = x$ e $x = 1$ e cujo topo está no plano $z = 2 - y$.

Note que $\partial\Omega = S$ é formada pela união de partes de planos.

Ora, qualquer plano $\pi \subset \mathbb{R}^3$ pode ser caracterizado por um ponto $P \in \pi$ e por dois vetores linearmente independentes $\vec{\alpha}, \vec{\beta} \in \pi$.

Nessas condições, uma parametrização *natural* de π é dada por

$$X(u, v) = P + u \cdot \vec{\alpha} + v \cdot \vec{\beta}.$$

O domínio $U \subset \mathbb{R}^2$ de X e o ponto *base* P devem ser convenientemente escolhidos de forma a retratar o plano π de acordo com a região de interesse.

Para ilustrar esse aspecto, considere o plano

$$z = 2 - y \Leftrightarrow 0 \cdot x + 1 \cdot y + 1 \cdot z = 2.$$

Tome $P = (0, 0, 2)$ por ponto *base*. Porque $A = (1, 1, 1)$ e $B = (0, 2, 0)$ são pontos desse plano,

$$\vec{\alpha} = \overrightarrow{PA} = (1, 1, -1) \quad \text{e} \quad \vec{\beta} = \overrightarrow{PB} = (0, 2, -2),$$

são vetores do plano. Por isso, uma parametrização *natural* do plano é dada por

$$X(u, v) = (u, u + 2v, 2 - u - 2v).$$

Tomando

$$U = \{(u, v) \in \mathbb{R}^2 : -2 \leq u \leq 3 \text{ e } -3 \leq v \leq 4\},$$

a sequência de comandos no Maple

```
with(plots) : with(plottools) : with(Student) : with(ColorTools) :
X := (u, v) -> [u, u + 2 * v, 2 - u - 2 * v];
plot3d(X(u, v), u = -2..3, v = -3..4, scaling = constrained, transparency = 0.1,
colour = u - v, lightmodel = light3, style = patchngrid, axes = normal,
view = [-1..3, -1..6, -1..4], tickmarks = [2, 4, 3], orientation = [50, 67, 10]);
```

gera, para o plano $z = 2 - y$, a figura abaixo.

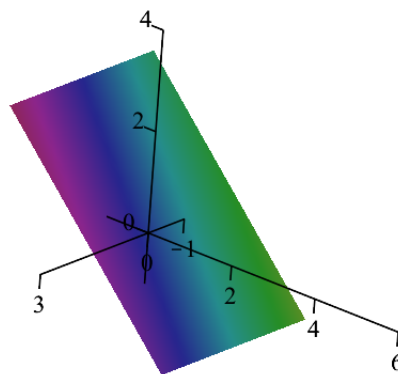


Fig. 2: Autoria própria

Por outro lado, tomando

$$U = \{(u, v) \in \mathbb{R}^2 : \frac{1}{2} \leq u^2 + v^2 \leq 5\},$$

a sequência de comandos no Maple

```
with(plots) : with(plottools) : with(Student) : with(ColorTools) :
X := (u, v) -> [u, u + 2 * v, 2 - u - 2 * v];
u := (r, theta) -> r * cos(theta); v := (r, theta) -> r * sin(theta);
X(u(r, theta), v(r, theta));
plot3d(X(u(r, theta), v(r, theta)), r = sqrt(0.5)..sqrt(5), theta = 0..2 * Pi,
scaling = unconstrained, transparency = 0.2, axes = normal,
colour = r * theta, lightmodel = light4, style = patchngrid,
tickmarks = [3, 4, 3], orientation = [50, 67, 10]);
```

gera, para o plano $z = 2 - y$, a figura seguinte.

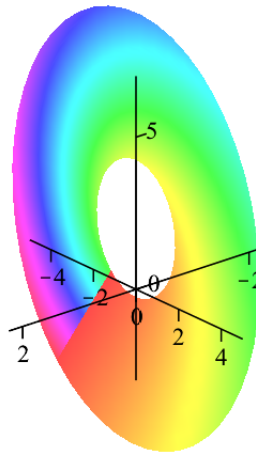


Fig. 3: Autoria própria

Conforme mostram as duas figuras anteriores, a escolha do domínio $U \subset \mathbb{R}^2$, da parametrização X , permite visualizar diferentes regiões da superfície $S = X(U)$.

Feitas essas considerações, retornemos ao prisma $\Omega \subset \mathbb{R}^3$ cuja base é o triângulo no plano xy limitado pelo eixo x e pelas retas $y = x$ e $x = 1$ e cujo topo está no plano $z = 2 - y$.

Nesse caso, a parametrização

$$X(u, v) = (u, u + 2v, 2 - u - 2v),$$

do plano $z = 2 - y$, é tal que $x = u \in [0, 1]$ e $y = u + 2v$, com

$$0 \leq y \leq x \Leftrightarrow 0 \leq u + 2v \leq u \Leftrightarrow -\frac{u}{2} \leq v \leq 0.$$

Disso decorre que o topo do prisma é obtido, no Maple, pela sequência de comandos

```
with(plots) : with(plottools) : with(Student) : with(ColorTools) :
X := (u, v) -> [u, u + 2 * v, 2 - u - 2 * v];
plot3d(X(u, v), u = 0..1, v = -u/2..0, scaling = constrained,
transparency = 0.2, colour = "Nautical GrayViolet", axes = none);
```

Raciocinando de modo similar, parametrizam-se os demais planos que compõem a superfície do prisma.

O programa pode então ser instruído com os comandos abaixo

```
with(plots) : with(plottools) : with(Student) : with(ColorTools) :
# Do triângulo no plano xy, formado pelos vetores (1, 0, 0) e (0, 1, 0) e que
passa pelo ponto (0, 0, 0).
X[1] := (u, v) -> [u, v, 0]; X[1](u, v);
plnxy := plot3d(X[1](u, v), u = 0..1, v = 0..u, scaling = constrained,
transparency = 0.2, colour = yellow, axes = normal) :
# Do plano x = 1, formado pelos vetores (0, 1, 0) e (0, 0, 1) e que
passa pelo ponto (1, 0, 0).
```

```

X[2] := (u, v) -> [1, u, v]; X[2](u, v);
plnXequals1 := plot3d(X[2](u, v), u = 0..1, v = 0..2 - u, scaling = constrained,
transparency = 0.2, colour = "NiagaraDarkOrchid", axes = normal) :
# Do plano y = x, formado pelos vetores (0, 0, 1) e (1, 1, 0) e que
  passa pelo ponto (0, 0, 0).
X[3] := (u, v) -> [u, u, v]; X[3](u, v);
plnYequalsX := plot3d(X[3](u, v), u = 0..1, v = 0..2 - u, scaling = constrained,
transparency = 0.2, colour = green, axes = normal) :
# Do plano xz, definido pelo eixo x, formado pelos vetores (1, 0, 0) e (0, 0, 1)
  e que passa pelo ponto (0, 0, 0).
X[4] := (u, v) -> [u, 0, v]; X[4](u, v);
plnxz := plot3d(X[4](u, v), u = 0..1, v = 0..2, scaling = constrained,
transparency = 0.2, colour = blue, axes = normal) :
#Plano z = 2 - y em coordenadas cartesianas.
X := (u, v) -> [u, u + 2 * v, 2 - u - 2 * v]; X(u, v);
plnUp := plot3d(X(u, v), u = 0..1, v = -u/2..0, scaling = constrained,
transparency = 0.1, colour = "NauticalGrayViolet", axes = normal) :
#Destacando apropriadamente os eixos coordenados.
zeixo := arrow([0, 0, -1/3], [0, 0, 2.3], 0.025, 0.05, 0.0125,
cylindrical_arrow, color = black);
yeixo := arrow([0, -1/3, 0], [0, 1.3, 0], 0.025, 0.05, 0.0125,
cylindrical_arrow, color = black);
xeixo := arrow([-1/3, 0, 0], [1.6, 0, 0], 0.025, 0.05, 0.0125,
cylindrical_arrow, color = black);
#Modelando o sólido.
display({plnUp, plnxy, plnxz, zeixo, yeixo, zeixo, plnXequals1, plnYequalsX},
scaling = constrained, axes = normal, tickmarks = [[1], [1], [2]],
orientation = [21, 65, -8]);

```

gerando o modelo a seguir.

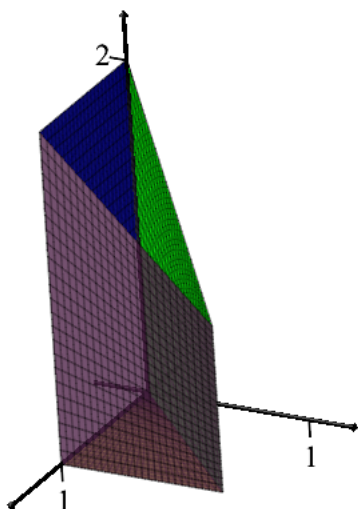


Fig. 4: Autoria própria

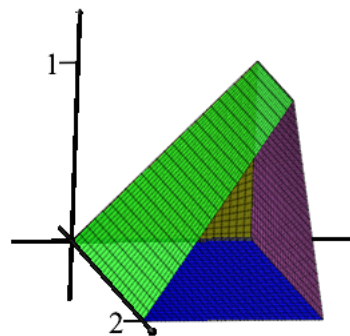


Fig. 5: Autoria própria

Exame dinâmico, no Maple, da projeção do sólido sobre os planos coordenados revela

que *não* é melhor opção a escolha da projeção sobre o plano xz , uma vez que ela é formada pela justaposição de duas regiões, conforme ilustrado abaixo, o que obrigaria à separação da integral múltipla na soma de duas integrais.

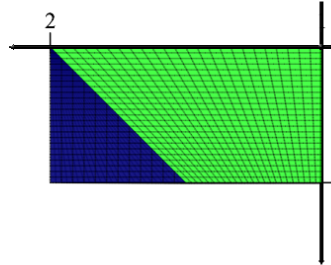


Fig. 6: Autoria própria

A projeção do sólido sobre o plano coordenado yz produz a região

$$U_{yz} = \{(y, z) \in \mathbb{R}^2 : 0 \leq z \leq 2 - y \text{ e } 0 \leq y \leq 1\}.$$

Pelo Teorema de Fubini, o volume do sólido é dado por

$$\iiint_{\Omega} 1 \cdot dV = \iint_{U_{yz}} \left[\int_y^1 1 \cdot dx \right] dA = \int_0^1 \int_0^{2-y} \left[\int_y^1 1 \cdot dx \right] dz dy = \frac{5}{6}.$$

Por seu turno, a projeção do sólido sobre o plano coordenado xy produz a região

$$U_{xy} = \{(x, y) \in \mathbb{R}^2 : 0 \leq y \leq x \text{ e } 0 \leq x \leq 1\}.$$

Pelo Teorema de Fubini, o volume do sólido é dado por

$$\iiint_{\Omega} 1 \cdot dV = \iint_{U_{xy}} \left[\int_0^{2-y} 1 \cdot dz \right] dA = \int_0^1 \int_0^x \left[\int_0^{2-y} 1 \cdot dz \right] dy dx = \frac{5}{6}.$$

No Maple, as integrais iteradas acima são calculadas usando a seguinte sequência de comandos:

```
# Projeção no plano coordenado yz.
# O volume do sólido é dado por
Int(1, x = y..1);
Int(Int(1, x = y..1), z = 0..2 - y);
Int(Int(Int(1, x = y..1), z = 0..2 - y), y = 0..1);
int(int(int(1, x = y..1), z = 0..2 - y), y = 0..1);
# Projeção no plano coordenado xy.
# O volume do sólido é dado por
Int(1, z = 0..2 - y);
Int(Int(1, z = 0..2 - y), y = 0..x);
Int(Int(Int(1, z = 0..2 - y), y = 0..x), x = 0..1);
int(int(int(1, z = 0..2 - y), y = 0..x), x = 0..1);
```

Uma vez que os limites de integração das integrais repetidas do prisma $\Omega \subset \mathbb{R}^3$ estão fixados pela escolha de U_{yz} ou de U_{xy} , a integral tripla de uma função qualquer $f(x, y, z)$

em Ω é, de acordo com o Teorema de Fubini, dada por

$$\begin{aligned} \iiint_{\Omega} f(x, y, z) \, dV &= \int_0^1 \int_0^{2-y} \left[\int_y^1 f(x, y, z) \cdot dx \right] dz dy \\ &= \int_0^1 \int_0^x \left[\int_0^{2-y} f(x, y, z) \cdot dz \right] dy dx. \end{aligned}$$

Do ponto de vista computacional, definida a função f , o cálculo da integral tripla é efetuado imediatamente pelo programa.

A título de ilustração, considere a função $f(x, y, z) = x^2 - y^2 + z$.

No Maple, a sequência de comandos abaixo determina a integral tripla de f em Ω .

```
# Definindo a função dada.
f := (x, y, z) -> x^2 - y^2 + z; f(x, y, z);
# Verificando a integral tripla de forma inerte.
Int(Int(Int(f(x, y, z), x = y..1), z = 0..2 - y), y = 0..1);
# Efetuando a integral tripla.
int(int(int(f(x, y, z), x = y..1), z = 0..2 - y), y = 0..1);
# Verificando a integral tripla de forma inerte.
Int(Int(Int(f(x, y, z), z = 0..2 - y), y = 0..x), x = 0..1);
# Efetuando a integral tripla.
int(int(int(f(x, y, z), z = 0..2 - y), y = 0..x), x = 0..1);
```

3.2 O VOLUME DE UMA CUNHA

Considere uma cunha $\Omega \subset \mathbb{R}^3$ contida no cilindro $x^2 + z^2 = 9$ e delimitada pelos planos $y = -2$ e $y + z = 1$.

Inicialmente, note que, porque

$$(3 \sin u)^2 + (3 \cos u)^2 = 9(\sin^2 u + \cos^2 u) = 9,$$

uma parametrização *natural* do cilindro é dada por

$$Y_1(u, v) = (3 \sin u, v, 3 \cos u), \quad u \in [0, 2\pi], \quad v \in \mathbb{R}.$$

O plano

$$y = -2 \Leftrightarrow 0 \cdot x + 1 \cdot y + 0 \cdot z = -2,$$

passa pelo ponto *base* $(0, -2, 0)$. Além disso, os vetores $\vec{\alpha} = (1, 0, 0)$ e $\vec{\beta} = (0, 0, 1)$ pertencem ao plano. Por isso, uma parametrização *natural* do plano é

$$Y_2(u, v) = (u, -2, v), \quad u \in \mathbb{R}, \quad v \in \mathbb{R}.$$

O plano

$$y + z = 1 \Leftrightarrow z = 1 - y,$$

pode ser *naturalmente* parametrizado fazendo $x = u$, $y = v$ e $z = 1 - v$. Noutros termos, basta tomar a aplicação

$$Y_3(u, v) = (u, v, 1 - v), \quad u \in \mathbb{R}, \quad v \in \mathbb{R}.$$

Evidentemente, se a construção da parametrização fosse realizada conforme o procedimento explicado anteriormente, outra aplicação, diferente de Y_3 , seria obtida.

Isso mostra que *não* é única a parametrização de uma superfície.

No Maple, o modelo abaixo

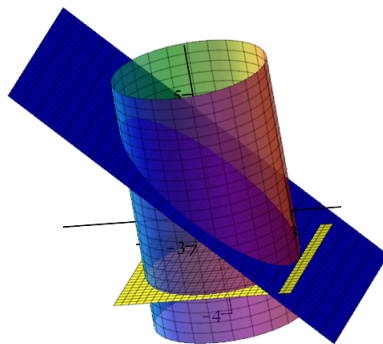


Fig. 7: Autoria própria

é construído pela sequência de comandos

```
restart;
with(plots) : with(plottools) : with(Student) : with(ColorTools) :
# Do cilindro com eixo de simetria coincidente com o eixo y.
Y[1] := (u, v) -> [3 * sin(u), v, 3 * cos(u)]; Y[1](u, v);
cilin1 := plot3d(Y[1](u, v), u = 0..2 * Pi, v = -4..6, scaling = constrained,
transparency = 0.3, axes = normal, style = surfacewireframe, colour = u,
tickmarks = [[-2, 2], [-4, -3, 3, 4], [-3, -2, 2, 3]], orientation = [55, 61, 4]) :
# Do plano y = -2.
Y[2] := (u, v) -> [u, -2, v]; Y[2](u, v);
pln2 := plot3d(Y[2](u, v), u = -3.5..3.5, v = -3.5..3.5, scaling = constrained,
transparency = 0.2, colour = yellow, axes = normal,
tickmarks = [[-3, -2, -1, 0, 1, 2, 3], [-3, -2, -1, 0, 1, 2, 3], [-3, -2, -1, 0, 1, 2, 3]],
orientation = [55, 61, 4]) :
# Do plano z + y = 1.
Y[3] := (u, v) -> [u, v, 1 - v]; Y[3](u, v);
pln3 := plot3d(Y[3](u, v), u = -4..5, v = -4..7, scaling = constrained,
transparency = 0., colour = blue, axes = normal,
tickmarks = [[-3, 0, 1, 3], [-3, 0, 1, 2, 3], [-3, 0, 1, 2, 3]],
orientation = [-112, 4, 74]) :
# Modelando o sólido.
display({cilin1, pln2, pln3}, scaling = constrained, axes = normal,
tickmarks = [[-3, 0, 3], [-4, 0, 5], [-3, 0, 3]], orientation = [-112, 4, 74]);
```

Os excessos apresentados no modelo podem ser suprimidos pela escolha apropriada do domínio $U \subset \mathbb{R}^2$ de cada parametrização, com eventual mudança de variáveis.

Com efeito, para o plano $y = -2$, toma-se $u = r \cos t$, $v = r \sin t$, com $t \in [0, 2\pi]$ e $r \in [0, 3]$. Nessas condições, a parametrização assume a forma

$$Y_2(r, t) = (r \cos t, -2, r \sin t), \quad \text{com } (r, t) \in [0, 3] \times [0, 2\pi].$$

O cilindro $x^2 + y^2 = 9$ e o plano $y + z = 1$ intersectam-se, gerando uma curva C .

Da parametrização do cilindro

$$Y_1(u, v) = (3 \sin u, v, 3 \cos u),$$

decorre que $x = 3 \sin u$, $z = 3 \cos u$ e, da equação do plano, que $y = 1 - 3 \cos u$.

Por isso, uma parametrização de C é dada por

$$\sigma(u) = (3 \sin u, 1 - 3 \cos u, 3 \cos u), \quad \text{com } u \in [0, 2\pi].$$

Em consequência, os excessos do cilindro podem ser removidos usando

$$Y_1(u, v) = (3 \sin u, v, 3 \cos u), \quad \text{com } (u, v) \in [0, 2\pi] \times [-2, 1 - 3 \cos u],$$

e os excessos do plano $y + z = 1$ podem ser retirados utilizando a parametrização

$$Y_3(r, t) = (r \sin t, 1 - r \cos t, r \cos t), \quad \text{com } (r, t) \in [0, 3] \times [0, 2\pi].$$

No Maple, a sequência de comandos,

```
# Removendo os excessos.
# Do encontro do plano y + z = 1 com o cilindro. Curva C.
sigma := u -> [3 * sin(u), 1 - 3 * cos(u), 3 * cos(u)]; sigma(u);
crv := plot3d(sigma(u), u = 0..2 * Pi, colour = black, thickness = 2) :
# Do cilindro com eixo de simetria coincidente com o eixo y.
cilin1 := plot3d(Y[1](u, v), u = 0..2 * Pi, v = -2..1 - 3 * cos(u),
scaling = constrained, transparency = 0.3, axes = normal,
style = surfacewireframe, colour = u,
tickmarks = [[-2, 2], [-4, -3, 3, 4], [-3, -2, 2, 3]], orientation = [55, 61, 4]) :
# Do plano y = -2.
Y[2] := (r, t) -> [r * cos(t), -2, r * sin(t)]; Y[2](r, t);
pln2 := plot3d(Y[2](r, t), r = 0..3, t = 0..2 * Pi, scaling = constrained,
transparency = 0.2, colour = yellow, axes = normal,
tickmarks = [[-3, -2, -1, 0, 1, 2, 3], [-3, -2, -1, 0, 1, 2, 3], [-3, -2, -1, 0, 1, 2, 3]],
orientation = [55, 61, 4]) :
# Do plano y + z = 1.
Y[3] := (r, t) -> [r * sin(t), 1 - r * cos(t), r * cos(t)]; Y[3](r, t);
pln3 := plot3d(Y[3](r, t), r = 0..3, t = 0..2 * Pi, scaling = constrained,
transparency = 0.2, colour = blue, axes = normal,
tickmarks = [[-3, 0, 1, 3], [-3, 0, 1, 2, 3], [-3, 0, 1, 2, 3]],
orientation = [55, 61, 4]) :
# Modelando o sólido.
# Destacando apropriadamente os eixos coordenados.
zeixoZ := arrow([0, 0, -3.5], [0, 0, 3.5], 0.025, 0.05, 0.0125,
cylindrical_arrow, color = black) :
yeixoY := arrow([0, -25/10, 0], [0, 4.5, 0], 0.025, 0.05, 0.0125,
cylindrical_arrow, color = black) :
xeixoX := arrow([-3.5, 0, 0], [3.5, 0, 0], 0.025, 0.05, 0.0125,
cylindrical_arrow, color = black) :
display(cilin1, crv, pln2, pln3, xeixoX, yeixoY, zeixoZ, scaling = constrained,
axes = normal, tickmarks = [[-3, 0, 3], [-2, 0, 4], [-3, 0, 3]],
orientation = [-112, 4, 74]);
```

apara os excessos e gera os modelos abaixo.

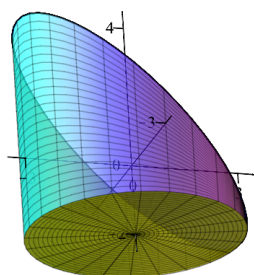


Fig. 8: Autoria própria

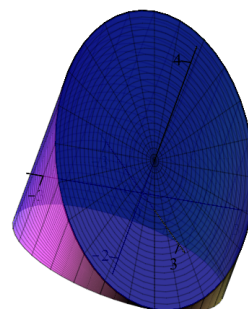


Fig. 9: Autoria própria

Exame dinâmico, no Maple, da projeção do sólido sobre os planos coordenados revela que *não* é melhor opção a escolha da projeção sobre o plano xy , uma vez que ela é formada pela justaposição de três regiões, o que obrigaria à separação da integral múltipla na soma de três integrais.

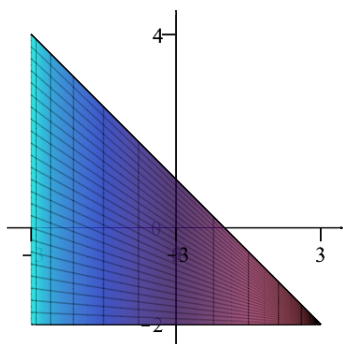


Fig. 10: Autoria própria

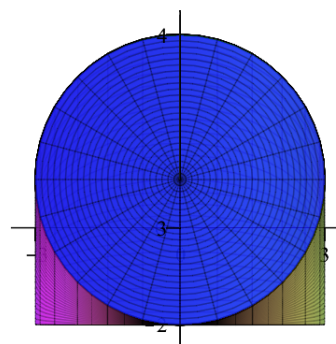


Fig. 11: Autoria própria

Seja $U_{yz} \subset \mathbb{R}^2$ a projeção do sólido sobre o plano $x = 0$.

Nesse plano coordenado yz , o plano $y + z = 1$ intersecta o cilindro $x^2 + z^2 = 9$ nos pontos $(0, -2, 3)$ e $(0, 4, -3)$.

A reta que passa por esses pontos é tal que

$$x = 0 \quad \text{e} \quad \frac{-3 - 3}{4 - (-2)} = \frac{y - 4}{z - (-3)} \Leftrightarrow y = -z + 1.$$

Por isso, tem-se que

$$U_{yz} = \{(y, z) \in \mathbb{R}^2 : -2 \leq y \leq -z + 1 \text{ e } -3 \leq z \leq 3\}.$$

Pelo Teorema de Fubini, o volume do sólido é dado por

$$\begin{aligned} \iiint_{\Omega} 1 \cdot dV &= \iint_{U_{yz}} \left[\int_{-\sqrt{9-z^2}}^{\sqrt{9-z^2}} 1 \cdot dx \right] dA \\ &= \int_{-3}^3 \int_{-2}^{-z+1} \left[\int_{-\sqrt{9-z^2}}^{\sqrt{9-z^2}} 1 \cdot dx \right] dy dz \\ &= 27\pi. \end{aligned}$$

Agora, seja $U_{xz} \subset \mathbb{R}^2$ a projeção do sólido sobre o plano $y = 0$.

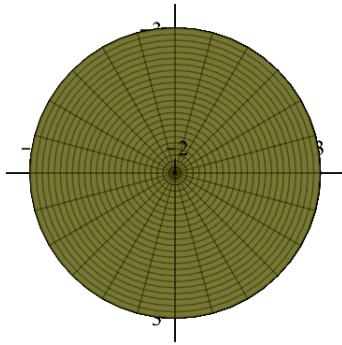


Fig. 12: Autoria própria

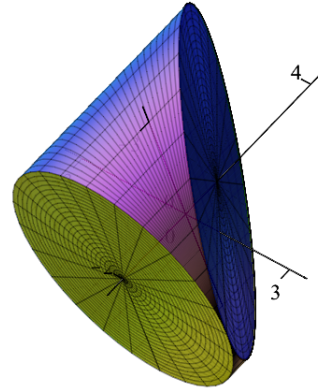


Fig. 13: Autoria própria

Por definição, em coordenadas cartesianas, tem-se

$$\begin{aligned} U_{xz} &= \{(x, z) \in \mathbb{R}^2 : 0 \leq x^2 + z^2 \leq 9\} \\ &= \{(x, z) \in \mathbb{R}^2 : -\sqrt{9 - z^2} \leq x \leq \sqrt{9 - z^2} \text{ e } -3 \leq z \leq 3\} \\ &= \{(x, z) \in \mathbb{R}^2 : -\sqrt{9 - z^2} \leq z \leq \sqrt{9 - z^2} \text{ e } -3 \leq x \leq 3\}. \end{aligned}$$

Nessas condições, de acordo com o Teorema de Fubini, o volume do sólido é

$$\begin{aligned} \iiint_{\Omega} 1 \cdot dV &= \iint_{U_{xz}} \left[\int_{-2}^{1-z} 1 \cdot dy \right] dA \\ &= \int_{-3}^3 \int_{-\sqrt{9-z^2}}^{\sqrt{9-z^2}} \left[\int_{-2}^{1-z} 1 \cdot dy \right] dx dz \\ &= \int_{-3}^3 \int_{-\sqrt{9-x^2}}^{\sqrt{9-x^2}} \left[\int_{-2}^{1-z} 1 \cdot dy \right] dz dx \\ &= 27\pi. \end{aligned}$$

Observe que $U_{xz} \subset \mathbb{R}^2$ possui simetria circular.

Isso sugere o uso de coordenadas cilíndricas no cálculo da integral tripla em $\Omega \subset \mathbb{R}^3$ definidas por

$$z = r \cos t, \quad y = y, \quad x = r \sin t.$$

Nesse caso, tem-se

$$\begin{aligned} U_{xz} &= U_{rt} \\ &= \{(t, r) \in \mathbb{R}^2 : 0 \leq r \leq 3 \text{ e } 0 \leq t \leq 2\pi\} \\ &= [0, 3] \times [0, \pi]. \end{aligned}$$

Desse modo, pelo Teorema de Mudança de Variáveis, o volume do sólido é

$$\begin{aligned} \iiint_{\Omega} 1 \cdot dV &= \iint_{U_{rt}} \left[\int_{-2}^{1-r \cos t} 1 \cdot r \cdot dy \right] dA \\ &= \int_0^{2\pi} \int_0^3 \left[\int_{-2}^{1-r \cos t} 1 \cdot r \cdot dy \right] dr dt \\ &= 27\pi. \end{aligned}$$

No Maple, as integrais iteradas acima são calculadas usando a seguinte sequência de comandos.

```
# Calculando o volume, com a projeção no plano coordenado yz.
# Forma inerte.
Int(Int(Int(1, x = -sqrt(-z^2 + 9)..sqrt(-z^2 + 9)), y = -2.. -z + 1), z = -3..3);
# Efetuando a conta.
int(int(int(1, x = -sqrt(-z^2 + 9)..sqrt(-z^2 + 9)), y = -2.. -z + 1), z = -3..3);
# Calculando o volume, com a projeção no plano xz.
# Forma inerte.
Int(Int(Int(1, y = -2.. -z + 1), x = -sqrt(9 - z * z)..sqrt(9 - z * z)), z = -3..3);
# Efetuando a conta.
Int(r, y = -2..1 - r * cos(t));
Int(Int(r, y = -2..1 - r * cos(t)), r = 0..3);
Int(Int(Int(r, y = -2..1 - r * cos(t)), r = 0..3), t = 0..2 * Pi);
# Usando coordenadas polares na projeção do plano xz.
int(int(int(r, y = -2..1 - r * cos(t)), r = 0..3), t = 0..2 * Pi);
```

Uma vez que os limites de integração das integrais repetidas da cunha $\Omega \subset \mathbb{R}^3$ estão fixados pela escolha de U_{yz} ou de U_{xz} , a integral tripla de uma função qualquer $f(x, y, z)$ em Ω é, de acordo com o Teorema de Fubini, dada por

$$\begin{aligned} \iiint_{\Omega} f(x, y, z) dV &= \int_{-3}^3 \int_{-\sqrt{9-z^2}}^{\sqrt{9-z^2}} \left[\int_{-2}^{1-z} f(x, y, z) \cdot dy \right] dx dz \\ &= \int_{-3}^3 \int_{-\sqrt{9-x^2}}^{\sqrt{9-x^2}} \left[\int_{-2}^{1-z} f(x, y, z) \cdot dy \right] dz dx \\ &= \int_0^{2\pi} \int_0^3 \left[\int_{-2}^{1-r \cos t} f(r \sin t, y, r \cos t) \cdot r \cdot dy \right] dr dt. \end{aligned}$$

Do ponto de vista computacional, definida a função f , o cálculo da integral tripla é efetuado imediatamente pelo programa.

A título de ilustração, em coordenadas cartesianas, seja f a função dada por

$$f(x, y, z) = x^2 - y + z^2.$$

Em coordenadas cilíndricas,

$$z = r \cos t, \quad y = y, \quad x = r \sin t,$$

tem-se

$$f(r \sin t, y, r \cos t) = r^2 - y.$$

Por conseguinte, decorre que

$$\begin{aligned} \iiint_{\Omega} f(x, y, z) \, dV &= \int_0^{2\pi} \int_0^3 \left[\int_{-2}^{1-r \cos t} (r^2 - y) \cdot r \cdot dy \right] dr \, dt \\ &= \frac{999\pi}{8}. \end{aligned}$$

No Maple, a sequência de comandos abaixo determina a integral tripla de f em Ω .

```
# Definindo a função dada.
f := (x, y, z) -> x^2 - y + z^2; f(x, y, z);
# Introduzindo as novas variáveis.
x := (t, r, y) -> r * sin(t); x(t, r, y);
z := (t, r, y) -> r * cos(t); z(t, r, y);
# Verificando a composição e eventual simplificação.
f(x(t, r, y), y, z(t, r, y));
simplify(f(x(t, r, y), y, z(t, r, y)));
# Definindo a função composta nas novas variáveis.
F := (t, r, y) -> simplify(f(x(t, r, y), y, z(t, r, y))); F(t, r, y);
# Verificando a integral tripla de forma inerte.
Int(Int(Int(F(t, r, y) * r, y = -2..1 - r * cos(t)), r = 0..3), t = 0..2 * Pi);
# Efetuando a integral tripla.
int(int(int(F(t, r, y) * r, y = -2..1 - r * cos(t)), r = 0..3), t = 0..2 * Pi);
```

3.3 UMA CUIA ESFÉRICA COM ESPAÇO INTERNO CÔNICO

Considere um sólido limitado abaixo pela esfera, em coordenadas esféricas padronizadas,

$$\rho = 2 \sin \phi \cos \theta,$$

e acima pelo cone $x = \sqrt{y^2 + z^2}$.

Inicialmente, observe que, das coordenadas esféricas padronizadas,

$$x = \rho \sin \phi \cos \theta, \quad y = \rho \sin \phi \sin \theta, \quad z = \rho \cos \phi,$$

segue que

$$\begin{aligned} \rho = 2 \sin \phi \cos \theta &\Leftrightarrow \rho^2 = 2\rho \sin \phi \cos \theta \\ &\Leftrightarrow x^2 + y^2 + z^2 = 2x \\ &\Leftrightarrow x^2 - 2x + y^2 + z^2 = 0 \\ &\Leftrightarrow (x - 1)^2 + y^2 + z^2 = 1. \end{aligned}$$

Assim, reconhece-se que a esfera dada tem centro $(1, 0, 0)$ e raio 1.

Inspirado pelas coordenadas esféricas, tem-se que uma parametrização *natural* dessa esfera é

$$X(u, v) = (1 + \sin u \cos v, \sin u \sin v, \cos u), \quad u \in [0, \pi], \quad v \in [0, 2\pi].$$

Por seu turno, uma parametrização *natural* do cone $x = \sqrt{y^2 + z^2}$ é dada por

$$Y(u, v) = (\sqrt{u^2 + v^2}, u, v), \quad u \in \mathbb{R}, \quad v \in \mathbb{R}.$$

No Maple, a sequência de comandos abaixo

```
restart;
with(plots) : with(plottools) : with(Student) : with(ColorTools) : PaletteNames() :
#Da esfera r = 2 * sin(phi) * cos(theta).
X := (u, v) -> [1 + sin(u) * cos(v), sin(u) * sin(v), cos(u)]; X(u, v);
esfera := plot3d(X(u, v), u = 0..Pi, v = 0..2 * Pi, scaling = constrained,
transparency = 0.2, axes = normal, style = surfacewireframe,
colour = v * cos(u), tickmarks = [[-3, 3], [-3, 3], [-3, 3]], orientation = [55, 61, 4]);
# Do cone x = sqrt(x * x + z * z).
Y := (u, v) -> [sqrt(u * u + v * v), u, v]; Y(u, v);
cne1 := plot3d(Y(u, v), u = -1.2..1.2, v = -1.2..1.2, scaling = constrained,
transparency = 0.3, axes = normal, style = surfacewireframe,
colour = "NiagaraDarkOrchid", tickmarks = [[-2, 2], [-4, -3, 3, 4], [-3, -2, 2, 3]],
orientation = [55, 61, 4]);
# Modelo da cuia.
display(cne1, esfera, scaling = constrained, axes = normal,
tickmarks = [[-3, 3], [-2, 4], [-3, 3]], orientation = [-112, 4, 74]);
```

gera o seguinte modelo

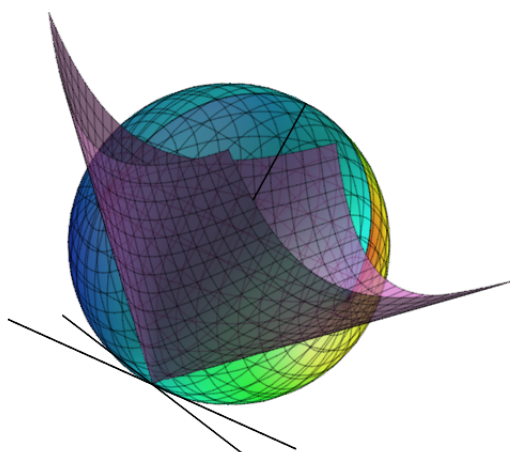


Fig. 14: Autoria própria

A esfera $(x - 1)^2 + y^2 + z^2 = 1$ e o cone $x = \sqrt{y^2 + z^2}$ intersectam-se, gerando uma curva C , tal que

$$(x - 1)^2 + x^2 = 1 \Leftrightarrow x = 1 \text{ ou } x = 0.$$

Disso e da parametrização $Y(u, v)$, decorre que

$$u^2 + v^2 = 1.$$

Tomando $u = \cos t$ e $v = \sin t$, com $t \in [0, 2\pi]$, segue que uma parametrização de C é dada por

$$\sigma(t) = (1, \cos t, \sin t), \quad 0 \leq t \leq 2\pi.$$

Em consequência, referente ao cone, os excessos apresentados no modelo podem ser suprimidos tomando a parametrização

$$Y(r, t) = (r^2, r \cos t, r \sin t), \quad 0 \leq r \leq 1, \quad 0 \leq t \leq 2\pi.$$

Relativo à esfera, cuja parametrização é

$$X(u, v) = (1 + \sin u \cos v, \sin u \sin v, \cos u),$$

os excessos podem ser aparados tomando

$$u \in [0, \pi] \quad \text{e} \quad v \in \left[\frac{\pi}{2}, \frac{3\pi}{2} \right],$$

uma vez que

$$0 \leq 1 + \sin u \cos v \leq 1 \quad \Leftrightarrow \quad -1 \leq \sin u \cos v \leq 0$$

No Maple, a sequência de instruções

```
# Inteseção do cone e da esfera. Curva C.
sigma := t -> [1, cos(t), sin(t)]; sigma(t);
crv := plot3d(sigma(t), t = 0..2 * Pi, colour = black, thickness = 2);
# Aparando os excessos.
# Cone.
u := (r, t) -> r * cos(t); v := (r, t) -> r * sin(t);
Y(u(r, t), v(r, t));
plot3d(Y(u(r, t), v(r, t)), r = 0..1, t = 0..2 * Pi, scaling = constrained,
transparency = 0.3, axes = normal, style = surfacewireframe,
colour = "NiagaraDarkOrchid", tickmarks = [[-1, 1], [-2, -1, 1, 2], [-1, -2, 2, 1]],
orientation = [55, 61, 4]);
cne2 := plot3d(Y(u(r, t), v(r, t)), r = 0..1, t = 0..2 * Pi, scaling = constrained,
transparency = 0.3, axes = normal, style = surfacewireframe,
colour = "NiagaraDarkOrchid",
tickmarks = [[-2, 2], [-4, -3, 3, 4], [-3, -2, 2, 3]], orientation = [55, 61, 4]);
# Esfera.
plot3d(X(u, v), u = 0..Pi, v = Pi/2..(3 * Pi)/2, scaling = constrained,
transparency = 0.3, axes = normal, style = surfacewireframe,
colour = sin(v) * cos(u), tickmarks = [[-3, 3], [-3, 3], [-3, 3]],
orientation = [55, 61, 4]);
esfera2 := plot3d(X(u, v), u = 0..Pi, v = Pi/2..(3 * Pi)/2,
scaling = constrained, transparency = 0.3, axes = normal,
style = surfacewireframe, colour = sin(v) * cos(u),
tickmarks = [[-3, 3], [-3, 3], [-3, 3]], orientation = [55, 61, 4]);
# Cuia aparada.
display(cne2, crv, esfera2, scaling = constrained,
axes = normal, tickmarks = [[-2, -1, 1, 2], [-2, -1, 1, 2], [-2, -1, 1, 2]],
orientation = [-177, -29, 38]);
```


gera a cuita esférica com espaço interno cônico abaixo.

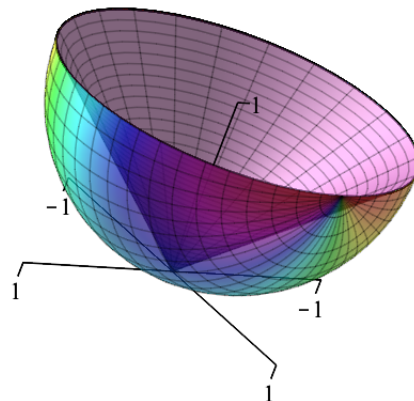


Fig. 15: Autoria própria

Exame dinâmico, no Maple, da projeção do sólido sobre os planos coordenados revela que *não* é conveniente escolher projeção sobre o plano xy nem sobre o plano xz .

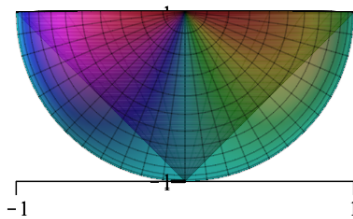


Fig. 16: Autoria própria

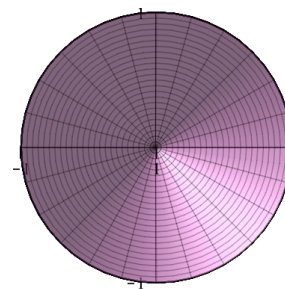


Fig. 17: Autoria própria

Seja $U_{yz} \subset \mathbb{R}^2$ a projeção do sólido $\Omega \subset \mathbb{R}^3$ sobre o plano coordenado $x = 0$. Por definição,

$$U_{yz} = \{(y, z) \in \mathbb{R}^2 : 0 \leq y^2 + z^2 \leq 1\}.$$

Em coordenadas cartesianas, do Teorema de Fubini, decorre que o volume do sólido é

$$\begin{aligned} \iiint_{\Omega} 1 \cdot dV &= \iint_{U_{yz}} \left[\int_{1-\sqrt{1-y^2-z^2}}^{\sqrt{y^2+z^2}} 1 \cdot dx \right] dA \\ &= \int_{-1}^1 \int_{-\sqrt{1-y^2}}^{\sqrt{1-y^2}} \left[\int_{1-\sqrt{1-y^2-z^2}}^{\sqrt{y^2+z^2}} 1 \cdot dx \right] dz dy \\ &= \frac{\pi}{3}. \end{aligned}$$

Embora as integrais iteradas acima sejam resolvidas, computacionalmente, em poucos segundos, do ponto de vista manuscrito, elas demandam certo esforço braçal.

Isso motiva ou, pelo menos, deveria motivar, a pessoa a procurar por outros sistemas de coordenadas na resolução do problema.

Com efeito, o uso do sistema diferenciado de coordenadas *cilíndricas* definido por

$$x = x, \quad y = r \cos t, \quad z = r \sin t,$$

implica que o jacobiano da transformação é

$$\frac{\partial(x, y, z)}{\partial(x, t, r)} = -r,$$

e que a *nova* região de integração da integral dupla é dada por

$$U_{tr} = \{(t, r) \in \mathbb{R}^2 : 0 \leq r \leq 1 \text{ e } 0 \leq t \leq 2\pi\}.$$

Pelo Teorema de Mudança de Variáveis, nas coordenadas cilíndricas diferenciadas fornecidas, segue que o volume do sólido é

$$\begin{aligned} \iiint_{\Omega} 1 \cdot dV &= \iint_{U_{tr}} \left[\int_{1-\sqrt{1-r^2}}^r 1 \cdot r \cdot dx \right] dA \\ &= \int_0^{2\pi} \int_0^1 \left[\int_{1-\sqrt{1-r^2}}^r 1 \cdot r \cdot dx \right] dr dt \\ &= \frac{\pi}{3}. \end{aligned}$$

Do ponto de vista braçal, as integrais repetidas acima parecem mais agradáveis.

Acontece que a situação pode ser melhorada um pouco mais, com o uso do sistema diferenciado de coordenadas *esféricas* definido por

$$x = r \cos p, \quad y = r \sin p \cos v, \quad z = r \sin p \sin v.$$

Nessas condições, o jacobiano da transformação é

$$\frac{\partial(x, y, z)}{\partial(v, p, r)} = -r^2 \sin p,$$

e a *nova* região de integração é dada por

$$U_{vp} = \left\{ (v, p) \in \mathbb{R}^2 : 0 \leq v \leq 2\pi \text{ e } \frac{\pi}{4} \leq p \leq \frac{\pi}{2} \right\}.$$

Pelo Teorema de Mudança de Variáveis, nas coordenadas esféricas diferenciadas fornecidas, segue que o volume do sólido é

$$\begin{aligned} \iiint_{\Omega} 1 \cdot dV &= \iint_{U_{vp}} \left[\int_0^{2 \cos p} 1 \cdot r^2 \sin p \cdot dr \right] dA \\ &= \int_0^{2\pi} \int_{\pi/4}^{\pi/2} \left[\int_0^{2 \cos p} 1 \cdot r^2 \sin p \cdot dr \right] dp dv \\ &= \frac{\pi}{3}. \end{aligned}$$

No Maple, os cálculos acima foram realizados usando as seguintes intruções.

```
# Volume em coordenadas cartesianas.
Int(1, x = 1 - sqrt(-y^2 - z^2 + 1)..sqrt(y^2 + z^2));
Int(Int(1, x = 1 - sqrt(-y^2 - z^2 + 1)..sqrt(y^2 + z^2)),
z = -sqrt(-x^2 + 1)..sqrt(-x^2 + 1));
Int(Int(Int(1, x = 1 - sqrt(-y^2 - z^2 + 1)..sqrt(y^2 + z^2)),
z = -sqrt(-y^2 + 1)..sqrt(-y^2 + 1)), y = -1..1);
int(int(int(1, x = 1 - sqrt(-y^2 - z^2 + 1)..sqrt(y^2 + z^2)),
z = -sqrt(-y^2 + 1)..sqrt(-y^2 + 1)), y = -1..1);
# Volume em coordenadas cilíndricas.
Int(r, x = 1 - sqrt(-r^2 + 1)..r);
Int(Int(r, x = 1 - sqrt(-r^2 + 1)..r), r = 0..1);
Int(Int(Int(r, x = 1 - sqrt(-r^2 + 1)..r), r = 0..1), t = 0..2 * Pi);
int(int(int(r, x = 1 - sqrt(-r^2 + 1)..r), r = 0..1), t = 0..2 * Pi);
# Volume em coordenadas esféricas.
Int(r^2 * sin(p), r = 0..2 * cos(p));
Int(Int(r^2 * sin(p), r = 0..2 * cos(p)), p = Pi/4..Pi/2);
Int(Int(Int(r^2 * sin(p), r = 0..2 * cos(p)), p = Pi/4..Pi/2), v = 0..2 * Pi);
int(int(int(r^2 * sin(p), r = 0..2 * cos(p)), p = Pi/4..Pi/2), v = 0..2 * Pi);
```

Uma vez que os limites de integração das integrais repetidas da cuia esférica com espaço interno cônico em $\Omega \subset \mathbb{R}^3$ estão fixados pela escolha de U_{yz} em coordenadas cartesianas, ou de U_{tr} em coordenadas cilíndricas, ou de U_{vp} em coordenadas esféricas, a integral tripla de uma função qualquer f em Ω é, de acordo com o Teorema de Fubini, dada por

$$\begin{aligned} V &= \iiint_{\Omega} f(x, y, z) \, dV \\ &= \int_{-1}^1 \int_{-\sqrt{1-y^2}}^{\sqrt{1-y^2}} \int_{1-\sqrt{1-y^2-z^2}}^{\sqrt{y^2+z^2}} f(x, y, z) \, dx \, dz \, dy \\ &= \int_0^{2\pi} \int_0^1 \int_{1-\sqrt{1-r^2}}^r r \cdot f(x, r \cos t, r \sin t) \, dx \, dr \, dt \\ &= \int_0^{2\pi} \int_{\pi/4}^{\pi/2} \int_0^{2 \cos p} r^2 \sin p \cdot f(r \cos p, r \sin p \cos v, r \sin p \sin v) \, dr \, dp \, dv. \end{aligned}$$

Do ponto de vista computacional, definida a função f , o cálculo da integral tripla é efetuado imediatamente pelo programa.

A título de ilustração, em coordenadas cartesianas, seja f a função dada por

$$f(x, y, z) = -x^2 + y^2 + z^2.$$

Em coordenadas esféricas,

$$x = r \cos p, \quad y = r \sin p \cos v, \quad z = r \sin p \sin v,$$

tem-se

$$f(r \cos p, r \sin p \cos v, r \sin p \sin v) = r^2 - 2r^2 \cos^2 p.$$

Por conseguinte, decorre que

$$\begin{aligned} I &= \iiint_{\Omega} f(x, y, z) \, dV \\ &= \int_0^{2\pi} \int_{\pi/4}^{\pi/2} \int_0^{2 \cos p} r^2 \sin p \cdot (r^2 - 2r^2 \cos^2 p) \, dr \, dp \, dv \\ &= \frac{\pi}{15}. \end{aligned}$$

No Maple, a sequência de comandos abaixo determina a integral tripla de f em Ω .

```
# Definindo a função dada.
f := (x, y, z) -> (-1) * x * x + y * y + z * z; f(x, y, z);
# Introduzindo as coordenadas esféricas diferenciadas.
x := (v, p, r) -> r * cos(p); y := (v, p, r) -> r * sin(p) * cos(v);
z := (v, p, r) -> r * sin(p) * sin(v);
# Verificando a composição e eventual simplificação.
f(x(v, p, r), y(v, p, r), z(v, p, r)); simplify(f(x(v, p, r), y(v, p, r), z(v, p, r)));
# Definindo a função composta nas novas variáveis.
F := (v, p, r) -> simplify(f(x(v, p, r), y(v, p, r), z(v, p, r))); F(v, p, r);
# Verificando a integral tripla de forma inerte.
Int(Int(Int(r^2 * sin(p) * F(v, p, r), r = 0..2 * cos(p)), p = Pi/4..Pi/2), v = 0..2 * Pi);
# Efetuando a integral tripla.
int(int(int(r^2 * sin(p) * F(v, p, r), r = 0..2 * cos(p)), p = Pi/4..Pi/2), v = 0..2 * Pi);
```

4 CONCLUSÃO

Nesta oficina, a partir de problemas propostos, desenvolveu-se, de forma interativa, a resolução de integrais triplas por meio do Teorema de Fubini, conforme delineado nas duas primeiras seções iniciais. Primeiro, com o Maple, construiu-se o sólido $\Omega \subset \mathbb{R}^3$. Após, examinou-se a situação, decidindo que projeção e curva são mais convenientes. Por fim, instruiu-se o programa a efetuar ordenadamente as integrais repetidas pertinentes.

Nesse sentido, espera-se que a presente oficina, embora de caráter elementar, sirva de estímulo e incentivo aos participantes para que usem o Maple como ferramenta de auxílio no processo de aprendizagem; particularmente, no estudo de integrais triplas.

Bibliografia

- [1] ANDRADE, L. N. **Introdução à Computação Algébrica com o Maple**. Rio de Janeiro: SBM, 2004.
- [2] ROGAWSKI, J.; ADAMS, C. **Cálculo**, 3. ed. Porto Alegre: Bookman, 2018. v. 2.
- [3] WEIR, M. D.; HASS, J.; GIORDANO, F. R. **Cálculo (George B. Thomas Jr)**, 11. ed. São Paulo: Addison Wesley, 2009. v. 2.